

DOI: 10.3872/j.issn.1007-385x.2018.08.007

· 基础研究 ·

## miR-204 过表达抑制成视网膜细胞瘤细胞的增殖与侵袭及其可能的机制

王建民<sup>1</sup>, 张加宾<sup>1</sup>, 刘杰慧<sup>2</sup>, 高鹏<sup>1</sup>(1. 莱芜市人民医院 眼科, 山东 莱芜 271100; 2. 山东大学附属济南市中心医院 眼科, 山东 济南 250013)

**[摘要]** **目的:**观察 miR-204 对成视网膜细胞瘤(retinoblastoma, RB)细胞增殖与侵袭的影响,探讨其可能的调控机制。**方法:**应用实时荧光定量 PCR(qRT-PCR)检测 RB 细胞系 Y79、SO-RB50、HXO-Rb44 和人正常视网膜色素上皮细胞系 hTERT RPE-1 中 miR-204 的表达水平。将 Y79 细胞系分成阴性对照组和 miR-204 组,分别应用脂质体转染法转染 NC-mimics 和 miR-204 mimics, CCK-8 增殖实验检测 miR-204 表达对 Y79 细胞增殖的影响,细胞划痕实验和 Transwell 小室法检测 miR-204 对 Y79 细胞迁移和侵袭的影响,应用生物信息学法预测 miR-204 的可能作用靶基因,应用 qRT-PCR 和 Western blotting 检测 miR-204 对靶基因高迁移率族蛋白 A2 (high mobility group AT-hook 2, *HMGA2*) mRNA 和蛋白表达的影响。**结果:** miR-204 在 RB 细胞系 Y79、SO-RB50、HXO-Rb44 中的表达较人正常视网膜色素上皮细胞系 hTERT RPE-1 明显降低( $P<0.01$ )。转染 miR-204 mimics 后, Y79 细胞中 miR-204 表达明显升高( $P<0.01$ )、细胞增殖能力明显下降( $P<0.01$ )、迁移及侵袭能力明显降低( $P<0.01$ ), miR-204 的靶基因 *HMGA2* mRNA 和蛋白的表达明显下降( $P<0.01$ )。**结论:** miR-204 在 RB 细胞系中低表达,过表达 miR-204 能够抑制 RB 细胞的增殖、迁移及侵袭能力,其机制可能与下调 *HMGA2* 基因的表达有关。

**[关键词]** 成视网膜细胞瘤; miR-204; 增殖; 迁移; 侵袭; 高迁移率族蛋白 A2

**[中图分类号]** R730.23; R739.7 **[文献标识码]** A **[文章编号]** 1007-385X(2018)08-0791-06

## Over-expression of miR-204 suppresses proliferation and invasion of retinoblastoma cells and its possible mechanism

WANG Jianmin<sup>1</sup>, ZHANG Jiabin<sup>1</sup>, LIU Jiehui<sup>2</sup>, GAO Peng<sup>1</sup>(1. Department of Ophthalmology, Laiwu People's Hospital, Laiwu 271100, Shandong, China; 2. Department of Ophthalmology, Ji'nan Central Hospital Affiliated to Shandong University, Ji'nan 250013, Shandong, China)

**[Abstract]** **Objective:** To observe the effects of miR-204 on the proliferation and invasion of retinoblastoma (RB) cells and to explore the potential regulatory mechanism. **Methods:** The expression level of miR-204 in RB cell lines (Y79, SO-RB50, and HXO-Rb44) as well as in normal human retinal pigment epithelial cell line hTERT RPE-1 was detected using qRT-PCR. The Y79 cells were divided into two groups (negative control group and miR-204 group) by respectively transfecting Y79 cells with NC-mimics and miR-204 mimics using liposome transfection method. The effects of miR-204 on Y79 cell proliferation was detected with CCK-8 assay; while the effect of miR-204 on migration and invasion of Y79 cells were determined by cell scratch assay and Transwell assay, respectively. Besides, the potential target gene of miR-204 was predicted by bioinformatics; and the influence of miR-204 on the expression of high mobility group AT-hook 2 gene (*HMGA2*) at both mRNA and protein levels was detected using qRT-PCR and Western blotting, respectively. **Results:** miR-204 expression in RB cell lines Y79, SO-RB50 and HXO-Rb44 was remarkably lower than that in normal human retinal pigment epithelial cell line hTERT RPE-1 ( $P<0.01$ ). miR-204 expression in Y79 cells was markedly up-regulated after transfection with miR-204 mimics ( $P<0.01$ ) along with significantly reduced cell proliferation, migration and invasion capacities (all  $P<0.01$ ), and mRNA and protein expressions of *HMGA2* were also outstandingly reduced ( $P<0.01$ ). **Conclusion:** miR-204 is lowly expressed in RB cell lines; in addition, miR-204 over-expression can suppress RB cell proliferation, migration and invasion, the mechanism of which might be related to down-regulation of the expression of *HMGA2*.

**[Key words]** retinoblastoma; miR-204; proliferation; migration; invasion; high mobility group AT-hook 2 gene (*HMGA2*)

[Chin J Cancer Biother, 2018, 25(8): 791-796. DOI: 10.3872/j.issn.1007-385X.2018.08.007]

**[基金项目]** 山东省医药卫生科技发展项目(No. 2017WS751)。Project supported by the Medical and Health Science and Technology Development Project of Shandong Province (No.2017WS751)

**[作者简介]** 王建民(1982-),男,硕士,住院医师,主要从事成视网膜细胞瘤发生发展的机制研究, E-mail: dr\_wangjm@yeah.net

**[通信作者]** 张加宾(ZHANG Jiabin, corresponding author),本科,副主任医师,主要从事眼科疾病的研究, E-mail: qiaolujundy@yeah.net

成视网膜细胞瘤(retinoblastoma, RB)是起源于视网膜上皮层的恶性肿瘤,是最常见的婴幼儿眼内恶性肿瘤,恶性程度高、预后差,如不能及时治疗往往会危及患儿生命<sup>[1]</sup>。至今RB的致病及进展机制尚不清楚,手术和放化疗等传统的治疗方式效果欠佳。microRNA(miRNA)是一类由21~24个核苷酸组成的高度保守的非编码单链RNA,通过与靶基因不完全或完全互补结合来调控靶基因的表达,在机体基因调控网络中发挥着重要的作用<sup>[2-3]</sup>。近年来发现miRNA作为癌基因或抑癌基因在恶性肿瘤发生进展中发挥重要作用<sup>[4]</sup>。在RB中也发现了许多与RB密切相关的miRNA异常表达<sup>[5]</sup>。miR-204是miRNA家族重要成员之一,其定位于人类第9号染色体,在人视网膜色素上皮细胞中表达极为丰富<sup>[6]</sup>,参与视网膜色素上皮细胞的分化<sup>[7]</sup>。近期研究<sup>[8]</sup>显示,miR-204在包括RB在内许多恶性肿瘤中表达异常,参与肿瘤细胞的增殖、迁移及侵袭等生物学行为,但作用机制尚不明确。本研究观察miR-204在RB细胞系中的表达变化以及其对RB细胞增殖、迁移和侵袭能力的影响,并探讨其可能的作用机制。

## 1 材料与方法

### 1.1 主要试剂

miR-204 mimics、阴性对照 NC-mimics 购自上海吉玛制药公司, TRIzol 试剂、Lipofectamine™2000 购自美国 Invitrogen 公司, RNA 反转录试剂盒、qRT-PCR 试剂盒购自大连宝生生物公司, miR-204、U6 与高迁移率族蛋白 A2 (high mobility group AT-hook 2, HMG A2)、GAPDH 引物购自广东锐博生物公司, Transwell 小室购自美国 Corning 公司, 基质胶购自美国 BD 公司, HMG A2 和 GAPDH 一抗购自美国 CST 公司, HRP 标记的二抗购自美国 Santa Cruz 公司。

### 1.2 细胞系及其培养

人正常视网膜色素上皮细胞系 hTERT RPE-1 和人 RB 细胞系 Y79、SO-RB50、HXO-Rb44 均购自美国 ATCC。Y79、SO-RB50 和 HXO-Rb44 细胞在 RPMI 1640 培养基(含 10% 胎牛血清、100 U/ml 青霉素和 100 μg/ml 链霉素)中培养, 人正常视网膜色素上皮细胞 hTERT RPE-1 在含 10% 胎牛血清和 0.01 mg/ml 潮霉素 B 的 DMEM/F12 培养基中培养, 均置于 37℃、5% CO<sub>2</sub> 的饱和湿度恒温箱中常规培养, 细胞用 0.05% EDTA 消化传代, 取生长状态良好的对数生长期细胞进行后续实验。

### 1.3 miR-204 mimics 转染 Y79 细胞

取对数生长期 Y79 细胞, 接种于 6 孔细胞培养板, 常规调节下培养, 细胞汇合度达 60%~70% 时进

行细胞转染操作。Y79 细胞分为两组, NC-mimics 组(对照组)和 miR-204 mimics 组(实验组), 严格按 Lipofectamine™2000 说明书操作分别将 NC-mimics 和 miR-204 mimics 转染至 Y79 细胞, 转染后 24 h, qRT-PCR 检测 miR-204 的表达, 确定转染效率后再进行后续细胞实验。

### 1.4 qRT-PCR 法检测 Y79 细胞中 miR-204 和 HMG A2 基因的表达水平

按照 TRIzol 试剂说明书提取 Y79 细胞总 RNA, 鉴定纯度和含量后, 反转录合成 cDNA。cDNA 合成参照反转录试剂盒说明书操作。以 cDNA 为模板, 按照 qRT-PCR 试剂盒说明书配置反应体系进行 PCR 反应。miR-204 基因 PCR 反应条件: 94℃ 2 min; 40 个循环(94℃ 20 s、55℃ 30 s); HMG A2 基因 PCR 反应条件: 94℃ 2 min; 40 个循环(94℃ 30 s、58℃ 30 s、72℃ 30 s)。miR-204 以 U6 作为内参基因, HMG A2 以 GAPDH 作为内参基因, 相对表达水平采用 2<sup>-ΔΔCt</sup> 法计算。实验重复 3 次。

### 1.5 CCK-8 法检测 miR-204 过表达对 Y79 细胞增殖的影响

具体操作参照 CCK-8 试剂盒说明书进行。收集转染后的各组细胞按 5×10<sup>3</sup>/孔的密度分别种于 96 孔板上, 每组设 3 个复孔, 每 24 h 加入 10 μl CCK-8 反应液 37℃ 继续孵育 4 h, 在 Spectra Max 190 酶标仪上测定波长 450 nm 处测定各孔不同时点的光密度(D)值, 绘制增殖曲线。

### 1.6 细胞划痕实验检测 miR-204 过表达对 Y79 细胞迁移的影响

取转染后 24 h 的各组细胞, 接种培养于 6 孔板中, 孔板底部预先画好标记线, 待细胞长到完全融合后, 用 10 μl 的灭菌枪头垂直培养孔底面中央用力划直线沿直线划痕, PBS 冲洗 2 次后继续培养, 划痕后即刻和 24 h 后于显微镜下观察并测量划痕宽度, 划痕愈合率(%)=[(0 h 时刻划痕宽度-24 h 时刻划痕宽度)/0 h 时刻划痕宽度]×100%。实验重复 3 次。

### 1.7 Transwell 小室法检测 miR-204 过表达对 Y79 细胞侵袭的影响

基质胶均匀涂抹 Transwell 小室上室, 过夜成膜。收集转染后 24 h 的各种 Y79 细胞以无血清培养基重悬制备单细胞悬液, 取 200 μl 含 2×10<sup>5</sup> 个细胞的单细胞悬液加入 Transwell 小室上室, 下室加入 500 μl 含 10% 胎牛血清的 DMEM 培养基, 继续培养 24 h 后取出小室, 棉签轻轻擦弃上室内的细胞, 4% 多聚甲醛固定, 染色, 风干, 显微镜下观察, 并随机取 5 个高倍视野计算穿膜细胞数。实验重复 3 次。

### 1.8 Western blotting 检测 miR-204 过表达对 Y79 细

胞中HMGA2表达的影响

取对数生长期各组Y79细胞,常规提取细胞总蛋白,以BCA法定量蛋白浓度。每个样本取200 μl样品,蛋白经10% SDS-PAGE分离后电转移至PVDF膜,5%封闭液4℃封闭4h,TBS缓冲液漂洗3遍,加入HMGA2和GAPDH一抗,4℃孵育过夜,TBS缓冲液漂洗3遍,加入HRP标记的二抗,室温孵育2h,ECL显影液显影,Quality One软件分析条带灰度,以HMGA2与GAPDH灰度的比值表示相对表达量。实验重复3次。

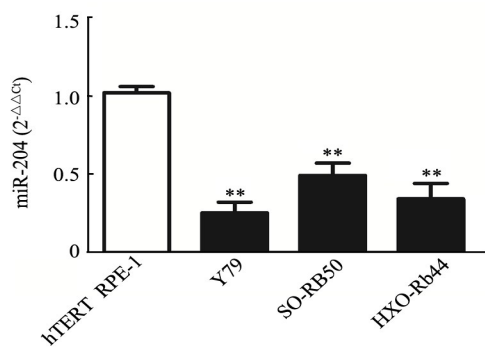
1.9 统计学处理

采用SPSS 20.0软件进行数据分析,计量资料以 $\bar{x} \pm s$ 表示,差异比较采用t检验或单因素方差分析。以 $P < 0.05$ 或 $P < 0.01$ 表示差异有统计学意义。

2 结果

2.1 miR-204在RB细胞中低表达

qRT-PCR结果(图1)显示,miR-204在RB细胞系Y79、SO-RB50、HXO-Rb44中的表达较人正常视网膜色素上皮细胞系hTERT RPE-1明显降低(均 $P < 0.01$ )。



\*\* $P < 0.01$  vs hTERT RPE-1 cell

图1 miR-204在RB细胞和人正常视网膜色素上皮细胞中的表达

Fig.1 Expression of miR-204 in RB cells and normal human retinal pigment epithelial cells hTERT RPE-1

2.2 转染后各组Y79细胞miR-204的表达

qRT-PCR检测结果(图2)显示,miR-204 mimics组细胞miR-204的表达明显高于NC-mimics组( $14.50 \pm 1.45$  vs  $1.01 \pm 0.06$ ,  $P < 0.01$ ),表明miR-204 mimics转染效率较高。

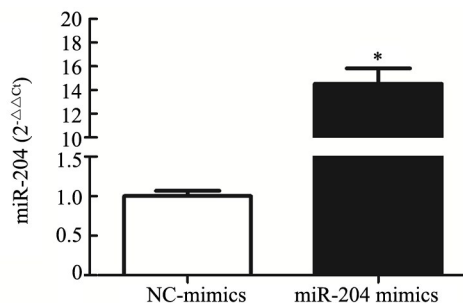
2.3 miR-204过表达抑制Y79细胞的增殖活性

CCK-8增殖实验结果(图3)显示,miR-204 mimics组细胞转染后48、72和96h时增殖活性明显低于NC-mimics组( $P < 0.01$ )。

2.4 miR-204过表达抑制Y79细胞的迁移能力

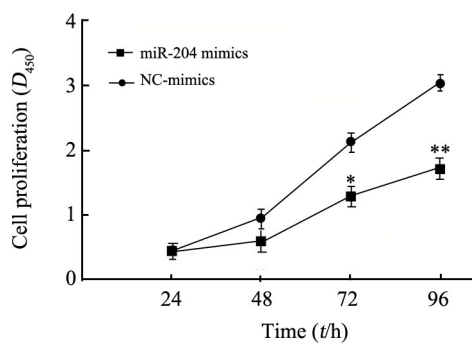
划痕实验结果(图4)显示,与NC-mimics组比较,

miR-204 mimics组细胞的划痕愈合率明显下降[( $31.3 \pm 3.8$ )% vs ( $60.7 \pm 4.9$ )%,  $P < 0.01$ ],提示miR-204 mimics组细胞的迁移能力明显降低。



\* $P < 0.01$  vs NC-mimics group

图2 转染miR-204 mimics后Y79细胞中miR-204高水平表达  
Fig.2 High level of miR-204 expression was detected in Y79 cells after transfection with miR-204 mimics



\* $P < 0.05$ , \*\* $P < 0.01$  vs NC-mimics group

图3 miR-204过表达抑制Y79细胞的增殖  
Fig.3 Over-expression of miR-204 inhibits the proliferation of Y79 cells

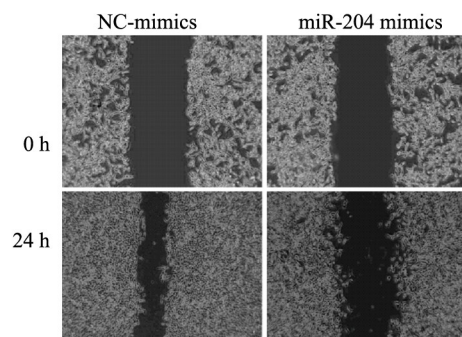


图4 miR-204过表达抑制Y79细胞的迁移(×10)

Fig.4 Over-expression of miR-204 inhibits the migration of Y79 cells (×10)

2.5 miR-204过表达抑制Y79细胞的侵袭能力

Transwell侵袭实验检测结果(图5)显示,miR-204 mimics组穿膜细胞数明显低于NC-mimics组( $P < 0.01$ ),提示miR-204 mimics组细胞的侵袭能力明显下降。



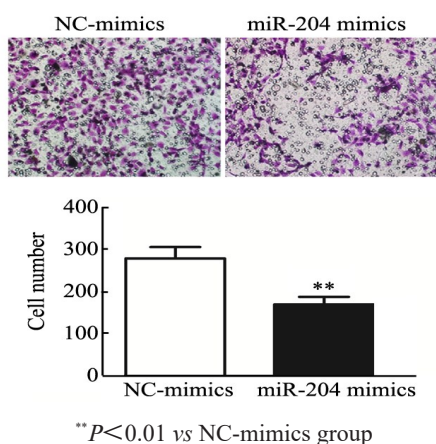


图5 miR-204过表达抑制Y79细胞的侵袭(×200)  
Fig. 5 Over-expression of miR-204 inhibits the invasion of Y79 cells (×200)

### 2.6 HMGA2是miR-204的靶基因

应用生物学信息法预测miR-204可能靶基因,查阅miRanda(<http://www.microrna.org>)及相关文献<sup>[9-11]</sup>,预测HMGA2可能是miR-204的作用靶基因,miR-204与HMGA2的3'UTR区存在种子序列互补的结合位点,见图6。

### 2.7 miR-204过表达抑制Y79细胞的HMGA2 mRNA和蛋白的表达

qRT-PCR检测结果(图7A)显示,miR-204 mimics组细胞HMGA2 mRNA的表达明显低于NC-mimics组(0.35±0.10 vs 1.00±0.06, P<0.01)。Western blotting检测结果(图7B)显示,miR-204 mimics组细胞HMGA2蛋白的表达明显低于NC-mimics组(0.18±0.06 vs 0.64±0.10, P<0.01)。



图6 miR-204和HMGA2的3'UTR区的结合序列  
Fig.6 The binding sequence of the 3'UTR region of miR-204 and HMGA2

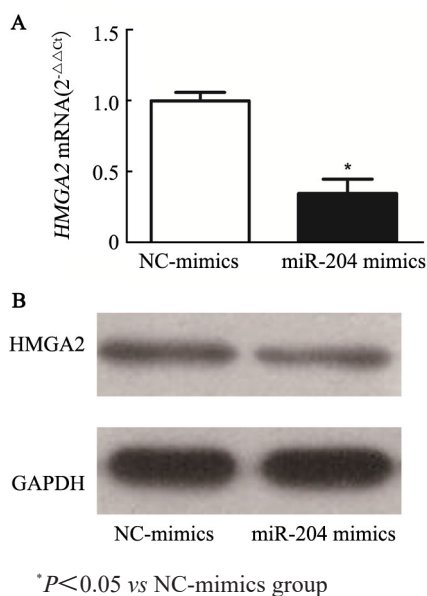


图7 miR-204过表达抑制Y79细胞的HMGA2 mRNA(A)和蛋白(B)的表达  
Fig.7 Over-expression of miR-204 inhibits mRNA (A) and protein (B) expression of HMGA2 in Y79 cells

## 3 讨论

目前已发现上百种miRNA在人类视网膜、角膜、晶状体等眼部组织中表达,通过对下游靶基因的调

控,在维持眼部组织的正常功能方面发挥着重要的作用。目前研究<sup>[4,12]</sup>证实,机体组织器官中miRNA表达水平的改变与包括肿瘤、炎症等在内的众多疾病的发生进展密切相关。

RB是儿童最常见的眼内恶性肿瘤,许多miRNA在RB的发生发展中发挥着重要的作用。miRNA通过对其靶基因的调控参与肿瘤细胞的侵袭、迁移、增殖以及肿瘤的发生发展。miR-138-5p<sup>[13]</sup>、miR-200c<sup>[14]</sup>、miR-320<sup>[15]</sup>等在RB中表达下调,被认为是类似于抑癌基因在RB的发生发展中发挥重要作用,而miR-498<sup>[16]</sup>、miR-655<sup>[17]</sup>、miR-106b<sup>[18]</sup>等在RB中表达上调,被认为是类似于癌基因发挥作用。miR-204定位于人类第9号染色体,在人视网膜色素上皮细胞表达极为丰富<sup>[6]</sup>。近期研究显示,miR-204在子宫颈癌<sup>[19]</sup>、成胶质细胞瘤<sup>[20]</sup>、肝细胞癌<sup>[21]</sup>、胃癌<sup>[22]</sup>等众多恶性肿瘤中表达下调,起抑癌基因的作用。但目前有关miR-204在RB中的研究较少,并且其作用机制尚不清楚。本研究通过qRT-PCR检测RB细胞系Y79、SO-RB50、HXO-Rb44和人正常视网膜色素上皮细胞系hTERT RPE-1中miR-204的表达水平发现,miR-204在RB细胞系中表达明显降低,在miR-204在其他恶性肿瘤中的研究一致,提示miR-204在RB发生发展中可能也起着抑癌基因的作用。

细胞无限增殖、侵袭与转移是恶性肿瘤的基本生物学特性,在其他众多恶性肿瘤的研究中均发现miR-204能够抑制肿瘤细胞的增殖、迁移及侵袭等恶性生物学行为<sup>[19-22]</sup>。本研究发现,上调Y79细胞中miR-204的表达能够明显抑制Y79细胞的增殖、迁移和侵袭能力,进一步证实miR-204作为抑癌基因能够抑制RB的进展。

miR-204抑制肿瘤细胞增殖、侵袭及迁移能力的下游分子通路尚不完全明确。为了研究miR-204调控RB细胞的下游靶基因,本研究应用生物学信息法预测发现*HMGA2*可能是miR-204的作用靶基因,因为miR-204与*HMGA2*的3'UTR区存在种子序列互补的结合位点。近期WU等<sup>[23]</sup>研究发现,miR-204通过靶向调控*HMGA2*抑制甲状腺癌细胞的增殖。在口腔癌<sup>[24]</sup>和结肠癌<sup>[25]</sup>中也证实,miR-204可以通过靶向*HMGA2*调控肿瘤细胞的恶性生物学行为。本研究发现,上调Y79细胞中miR-204表达后,Y79细胞*HMGA2* mRNA和蛋白的表达水平明显下降,提示miR-204在RB中的作用对*HMGA2*基因的靶向调控有关,上调miR-204的表达能够明显抑制*HMGA2*基因的表达。*HMGA2*是一种非组蛋白染色体蛋白,是高迁移率族蛋白超家族成员之一,在胚胎组织中高表达,在正常的成熟组织中几乎检测不到<sup>[26]</sup>。*HMGA2*可以上调细胞周期蛋白的表达,加速G2/M期转化促使肿瘤发生发展<sup>[27]</sup>,已公认为作为一种癌基因参与恶性肿瘤的发生发展,能够促进肿瘤细胞的增殖、侵袭和迁移能力<sup>[26-31]</sup>。较多的研究也已经证实*HMGA2*在RB中表达明显增高,抑制*HMGA2*的表达能够明显抑制RB细胞的增殖、侵袭和迁移能力<sup>[32-34]</sup>。

综上所述,miR-204在RB细胞系中低表达,miR-204能够抑制RB细胞的增殖、迁移及侵袭能力,其机制可能与下调*HMGA2*基因的表达有关,为进一步探索miR-204在RB进展过程中的作用机制提供了实验基础。

#### [参考文献]

- ABRAMSON D H. Retinoblastoma in the 20th century: past success and future challenges the Weisenfeld lecture[J]. Invest Ophthalmol Vis Sci, 2005, 46(8): 2683-2691. DOI: 10.1167/iovs.04-1462.
- GRUBER A R, MARTIN G, MULLER P, et al. Global 3' UTR shortening has a limited effect on protein abundance in proliferating T cells[J/OL]. Nat Commun, 2014, 5: 5465[2018-03-17]. <https://www.nature.com/articles/ncomms6465>. DOI: 10.1038/ncomms6465.
- ZHOU P, XU W, PENG X, et al. Large-scale screens of miRNA-mRNA interactions unveiled that the 3'UTR of a gene is targeted by multiple miRNAs [J/OL]. PLoS One, 2013, 8(7): e68204[2018-03-17]. <http://journals.plos.org/plosone/article?id=10.1371/journal.pone.0068204>. DOI: 10.1371/journal.pone.0068204.
- DI LEVA G, GAROFALO M, CROCE C M. MicroRNAs in cancer [J]. Annu Rev Pathol, 2014, 9: 287-314. DOI: 10.1146/annurev-pathol-012513-104715.
- 李佳桐, 常莉. microRNAs在视网膜母细胞瘤的研究进展[J]. 解剖科学进展, 2016, 22(4): 439-441.
- WANG F E, ZHANG C, MAMINISHKIS A, et al. MicroRNA-204/211 alters epithelial physiology[J]. FASEB J, 2010, 24(5): 1552-1571. DOI: 10.1096/fj.08-125856.
- OHANA R, WEIMAN-KELMAN B, RAVIV S, et al. MicroRNAs are essential for differentiation of the retinal pigmented epithelium and maturation of adjacent photoreceptors[J]. Development, 2015, 142(14): 2487-2498. DOI: 10.1242/dev.121533.
- LI T, PAN H, LI R. The dual regulatory role of miR-204 in cancer [J]. Tumour Biol, 2016, 37(9): 11667-11677. DOI: 10.1007/s13277-016-5144-5.
- TSAI S C, HUANG S F, CHIANG J H, et al. The differential regulation of microRNAs is associated with oral cancer[J]. Oncol Rep, 2017, 38(3): 1613-1620. DOI: 10.3892/or.2017.5811.
- WU H, LIANG Y, SHEN L, et al. MicroRNA-204 modulates colorectal cancer cell sensitivity in response to 5-fluorouracil-based treatment by targeting high mobility group protein A2[J]. Biol Open, 2016, 5(5): 563-570. DOI: 10.1242/bio.015008.
- WU Z Y, WANG S M, CHEN Z H, et al. MiR-204 regulates HMGA2 expression and inhibits cell proliferation in human thyroid cancer[J]. Cancer Biomark, 2015, 15(5): 535-542. DOI: 10.3233/CBM-150492.
- SINGH R P, MASSACHI L, MANICKAVEL S, et al. The role of miRNA in inflammation and autoimmunity[J]. Autoimmun Rev, 2013, 12(12): 1160-1165. DOI: 10.1016/j.autrev.2013.07.003.
- WANG Z, YAO Y J, ZHENG F, et al. Mir-138-5p acts as a tumor suppressor by targeting pyruvate dehydrogenase kinase 1 in human retinoblastoma[J]. Eur Rev Med Pharmacol Sci, 2017, 21(24): 5624-5629. DOI: 10.26355/eurrev\_201712\_14005.
- SHAO X L, CHEN Y, GAO L. MiR-200c suppresses the migration of retinoblastoma cells by reversing epithelial mesenchymal transition[J]. Int J Ophthalmol, 2017, 10(8): 1195-1202. DOI: 10.18240/ijo.2017.08.02.
- ZHAO Y, ZHANG S, ZHANG Y. MicroRNA-320 inhibits cell proliferation, migration and invasion in retinoblastoma by targeting specificity protein 1[J]. Mol Med Rep, 2017, 16(2): 2191-2198. DOI: 10.3892/mmr.2017.6767.
- YANG L, WEI N, WANG L, et al. miR-498 promotes cell proliferation and inhibits cell apoptosis in retinoblastoma by directly targeting CCPG1[J]. Childs Nerv Syst, 2018, 34(3): 417-422. DOI: 10.1007/s00381-017-3622-8.
- ZHANG M, LI Q, PAN Y, et al. MicroRNA-655 attenuates the malignant biological behaviours of retinoblastoma cells by directly targeting PAX6 and suppressing the ERK and p38 MAPK signalling pathways[J]. Oncol Rep, 2018, 39(4): 2040-2050. DOI: 10.3892/or.2018.6264.
- YANG G, FU Y, ZHANG L, et al. miR106b regulates retinoblastoma Y79 cells through Runx3[J]. Oncol Rep, 2017, 38(5): 3039-3043. DOI: 10.3892/or.2017.5931.
- SHU L, ZHANG Z, CAI Y. MicroRNA-204 inhibits cell migration and invasion in human cervical cancer by regulating transcription

- factor 12[J]. *Oncol Lett*, 2018, 15(1): 161-166. DOI: 10.3892/ol.2017.7343.
- [20] SONG S, FAJOL A, TU X, et al. miR-204 suppresses the development and progression of human glioblastoma by targeting ATF2[J]. *Oncotarget*, 2016, 7(43): 70058-70065. DOI: 10.18632/oncotarget.11732.
- [21] JIANG G, WEN L, ZHENG H, et al. miR-204-5p targeting SIRT1 regulates hepatocellular carcinoma progression[J]. *Cell Biochem Funct*, 2016, 34(7): 505-510. DOI: 10.1002/cbf.3223.
- [22] SHRESTHA S, YANG C D, HONG H C, et al. Integrated microRNA-mRNA analysis reveals mir-204 inhibits cell proliferation in gastric cancer by targeting CKS1B, CXCL1 and GPRC5A[J/OL]. *Int J Mol Sci*, 2017, 19(1). pii: E87[2018-03-17]. <https://www.ncbi.nlm.nih.gov/pmc/articles/PMC5496037/>. DOI: 10.3390/ijms19010087.
- [23] WU Z Y, WANG S M, CHEN Z H, et al. MiR-204 regulates HMGA2 expression and inhibits cell proliferation in human thyroid cancer[J]. *Cancer Biomark*, 2015, 15(5): 535-542. DOI: 10.3233/CBM-150492.
- [24] TSAI S C, HUANG S F, CHIANG J H, et al. The differential regulation of microRNAs is associated with oral cancer[J]. *Oncol Rep*, 2017, 38(3): 1613-1620. DOI: 10.3892/or.2017.5811.
- [25] WU H, LIANG Y, SHEN L, et al. MicroRNA-204 modulates colorectal cancer cell sensitivity in response to 5-fluorouracil-based treatment by targeting high mobility group protein A2[J]. *Biol Open*, 2016, 5(5):563-570. DOI: 10.1242/bio.015008.
- [26] PALLANTE P, SEPE R, PUCA F, et al. High mobility group proteins as tumor markers[J]. *Front Med (Lausanne)*, 2015, 2: 15. DOI: 10.3389/fmed.2015.00015.
- [27] FUSCO A, FEDELE M. Roles of HMGA proteins in cancer[J]. *Nat Rev Cancer*, 2007, 7(12): 899-910. DOI: 10.1038/nrc2271.
- [28] JIN L, LLOYD R V, HENRY M R, et al. The diagnostic utility of combination of HMGA2 and IMP3 qRT-PCR testing in thyroid neoplasms[J]. *Appl Immunohistochem Mol Morphol*, 2015, 23(1): 36-43. DOI: 10.1097/PAI.000000000000031.
- [29] ZHU C, LI J, CHENG G, et al. miR-154 inhibits EMT by targeting HMGA2 in prostate cancer cells[J]. *Mol Cell Biochem*, 2013, 379(1/2):69-75. DOI: 10.1007/s11010-013-1628-4.
- [30] DING X, WANG Y, MA X, et al. Expression of HMGA2 in bladder cancer and its association with epithelial-to-mesenchymal transition [J]. *Cell Prolif*, 2014, 47(2):146-151. DOI: 10.1111/cpr.12096.
- [31] KONG D, SU G, ZHA L, et al. Coexpression of HMGA2 and Oct4 predicts an unfavorable prognosis in human gastric cancer[J]. *Med Oncol*, 2014, 31(8):130. DOI: 10.1007/s12032-014-0130-5.
- [32] VENKATESAN N, KRISHNAKUMAR S, DEEPA P R, et al. Molecular deregulation induced by silencing of the high mobility group protein A2 gene in retinoblastoma cells[J]. *Mol Vis*, 2012, 18:2420-2437.
- [33] NALINI V, DEEPA P R, RAGURAMAN R, et al. Targeting HMGA2 in retinoblastoma cells in vitro using the aptamer strategy[J]. *Ocul Oncol Pathol*, 2016, 2(4): 262-269. DOI: 10.1159/000447300.
- [34] SINGH M K, SINGH L, SEN S, et al. Role of high-mobility group protein A isoforms and their clinicopathologic significance in primary retinoblastoma[J]. *Appl Immunohistochem Mol Morphol*, 2017, 25(4): 244-250. DOI: 10.1097/PAI.0000000000000295.

[收稿日期] 2018-04-04

[修回日期] 2018-06-20

[本文编辑] 黄静怡